ISTITUZIONI DI FISICA MATEMATICA

Corso di 6 Crediti
Corso di Laurea Specialistica in Matematica
A.A. 2007-2008

Cornelis VAN DER MEE

Dipartimento di Matematica e Informatica
Università di Cagliari
Viale Merello 92, 09123 Cagliari
070-6755605 (studio), 070-6755601 (FAX), 335-5287988 (cell.)

cornelis@krein.unica.it
http:\\bugs.unica.it\∼cornelis
oppure: http:\\krein.unica.it\∼cornelis

L'altra condizione $u(L) = 0$ conduce alla condizione

$$\cos(kL) = 0 \Leftrightarrow kL = \left(n - \frac{1}{2}\right)\pi, \qquad n = 1, 2, 3, \ldots.$$

Quindi gli autovalori $\lambda_n = k_n^2 = ((n - \frac{1}{2})\pi/L)^2$ e le autofunzioni $\varphi_n(x) \sim \cos((n - \frac{1}{2})\pi x/L)$ per $n = 1, 2, 3, \ldots$. Ortonormalizzando le autofunzioni in $L^2(0, L)$ otteniamo

$$\lambda_n = \left(\frac{\left(n - \frac{1}{2}\right)\pi}{L}\right)^2, \qquad \varphi_n(x) = \sqrt{\frac{2}{L}}\cos\left(\frac{\left(n - \frac{1}{2}\right)\pi x}{L}\right), \tag{I.21}$$

dove $n = 1, 2, 3, \ldots$. Le autofunzioni formano una base ortonormale di $L^2(0, L)$.

e. Condizioni periodiche. Le soluzioni non banali sono quelle periodiche. Dunque abbiamo la base ortonormale di autofunzioni (con corrispondenti autovalori)

$$\begin{cases} \varphi_0(x) = \dfrac{1}{\sqrt{L}}, & \lambda_0 = 0, \\ \varphi_n^c(x) = \sqrt{\dfrac{2}{L}}\cos\left(\dfrac{2n\pi x}{L}\right), & \lambda_n = \left(\dfrac{2n\pi}{L}\right)^2, \\ \varphi_n^s(x) = \sqrt{\dfrac{2}{L}}\sin\left(\dfrac{2n\pi x}{L}\right), & \lambda_n = \left(\dfrac{2n\pi}{L}\right)^2, \end{cases} \tag{I.22}$$

dove $n = 1, 2, 3, \ldots$. Quindi l'autovalori zero è semplice mentre gli altri autovalori hanno moltiplicità 2.

f. Condizione di Dirichlet in $x = 0$ e mista in $x = L$. Per trovare una soluzione non banale del problema al contorno supponiamo che $k \geq 0$. Utilizzando la condizione $u(0) = 0$ si ottiene

$$u(x) \sim \sin(kx).$$

L'altra condizione $(\cos\alpha)u(L) + (\sin\alpha)u'(L) = 0$ conduce alla condizione

$$\cos\alpha\,\sin(kL) + k\sin\alpha\,\cos(kL) = 0, \qquad n = 1, 2, 3, \ldots.$$

Escludendo i casi già trattati, cioè $\alpha = 0$ [Dirichlet] e $\alpha = (\pi/2)$ [Dirichlet in $x = 0$ e Neumann in $x = L$], risultano $k > 0$, $\sin(kL) = 0$ e $\cos(kL) \neq 0$. Arriviamo all'equazione transcedentale

$$\tan(kL) = -k\tan\alpha, \tag{I.23}$$

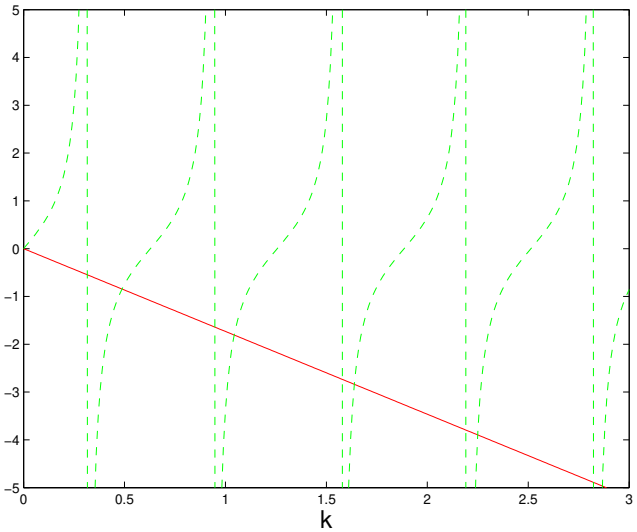

Figura I.1: Il plot contiene i grafici delle funzioni $y = \tan(xL)$ e $y = -k\tan\alpha$ per $L = 5$ e $\alpha = \frac{\pi}{3}$. Gli autovalori sono i valori di $k > 0$ corrispondenti ai loro punti di intersezione.

dove $\tan\alpha > 0$. Cercando i punti di intersezione positivi tra il grafico della funzione $k \mapsto \tan(kL)$ e la retta $k \mapsto -k\tan\alpha$ con coefficiente angolare negativo, troviamo una successione infinita di autovalori $\lambda_n = k_n^2$ $(n = 1, 2, 3, \ldots)$. Le corrispondenti autofunzioni si possono normalizzare in $L^2(0, L)$, risultando in una base ortonormale di $L^2(0, L)$.

g. Condizioni Miste Diverse. Ci limitiamo al caso in cui $\alpha, \beta \in (0, \frac{\pi}{2})$. In tal caso la soluzione

$$u(x) \sim c_1 \cos(kx) + c_2 \frac{\sin(kx)}{k}$$

per le opportune costanti c_1, c_2 e per $k > 0$ soddisfa alle due condizioni

$$c_1 \cos\beta - c_2 \sin\beta = 0, \tag{I.24}$$

$$c_1 \left[\cos\alpha\cos(kL) - k\sin\alpha\sin(kL)\right] + c_2 \left[\cos\alpha\frac{\sin(kL)}{k} + \sin\alpha\cos(kL)\right] = 0. \tag{I.25}$$

L'esistenza di una soluzione non banale conduce alla condizione

$$\cos\beta \left[\cos\alpha\frac{\sin(kL)}{k} + \sin\alpha\cos(kL)\right] + \sin\beta\left[\cos\alpha\cos(kL) - k\sin\alpha\sin(kL)\right] = 0,$$

e dunque [vedi la (A.10) nell'Appendice A]

$$W[J_\nu, J_{-\nu}](x) = \frac{-2\nu}{x\Gamma(\nu+1)\Gamma(-\nu+1)} + \underbrace{O(x)}_{=0}$$
$$= \frac{-2\nu}{x\Gamma(\nu+1)\Gamma(-\nu+1)} = \frac{-2\,\sin(\nu\pi)}{\pi x}.$$

Quindi $J_\nu(x)$ e $J_{-\nu}(x)$ sono linearmente indipendenti [cioè, il Wronskiano non si annulla per $x \neq 0$] se e solo se ν non è un intero. Se $\nu \in \mathbb{Z}$, risulta $J_{-\nu}(x) = (-1)^\nu J_\nu(x)$.

Per $\nu = n$ $(n = 0, 1, 2, \cdots)$ esiste una soluzione dell'equazione di Bessel linearmente indipendente della $J_n(x)$. Per trovarela definiamo la *funzione di Bessel di seconda specie*

$$\boxed{Y_\nu(x) = \frac{J_\nu(x)\cos(\nu\pi) - J_{-\nu}(x)}{\sin(\nu\pi)}}$$

per $\nu \notin \mathbb{Z}$. Siccome sia il numeratore che il denominatore sono funzioni analitiche di $\nu \in \mathbb{C}$ e $(d/d\nu)\sin(\nu\pi) = \pi\,\cos(\nu\pi) \neq 0$ per $\nu = 0, 1, 2, \cdots$, il limite di $Y_\nu(x)$ per $\nu \to n \in \mathbb{N} \cup \{0\}$ esiste ed è uguale all'espressione

$$Y_n(x) = \frac{1}{\pi}\left[\frac{\partial J_\nu(x)}{\partial\nu}\right]_{\nu=n} - (-1)^n\left[\frac{\partial J_{-\nu}(x)}{\partial\nu}\right]_{\nu=n}.$$

Calcolando la derivata della serie di potenza per $J_\nu(x)$ rispetto a ν ed introducendo la funzione $\psi(z) = \Gamma'(z)/\Gamma(z)$ otteniamo per $x \geq 0$

$$Y_0(x) = \frac{2}{\pi}\sum_{k=0}^{\infty}\frac{(-1)^k(z/2)^{2k}}{(k!)^2}\left[\log\frac{z}{2} - \psi(k+1)\right]$$
$$= \frac{2}{\pi}J_0(x)\log\frac{x}{2} - \frac{2}{\pi}\sum_{k=0}^{\infty}\frac{(-1)^k(z/2)^{2k}}{(k!)^2}\psi(k+1),$$
$$Y_n(x) = -\frac{1}{\pi}\sum_{k=0}^{n-1}\frac{(n-k-1)!}{k!}\left(\frac{z}{2}\right)^{2k-n}$$
$$+ \frac{1}{\pi}\sum_{k=0}^{\infty}\frac{(-1)^k(z/2)^{n+2k}}{k!(n+k)!}\left[2\,\log\frac{z}{2} - \psi(k+1) - \psi(k+n+1)\right]$$
$$= \frac{2}{\pi}J_n(x)\log\frac{x}{2} - \frac{1}{\pi}\sum_{k=0}^{n-1}\frac{(n-k-1)!}{k!}\left(\frac{x}{2}\right)^{2k-n}$$
$$- \frac{1}{\pi}\sum_{k=0}^{\infty}\frac{(-1)^k(z/2)^{n+2k}}{k!(n+k)!}\left[\psi(k+1) + \psi(k+n+1)\right].$$

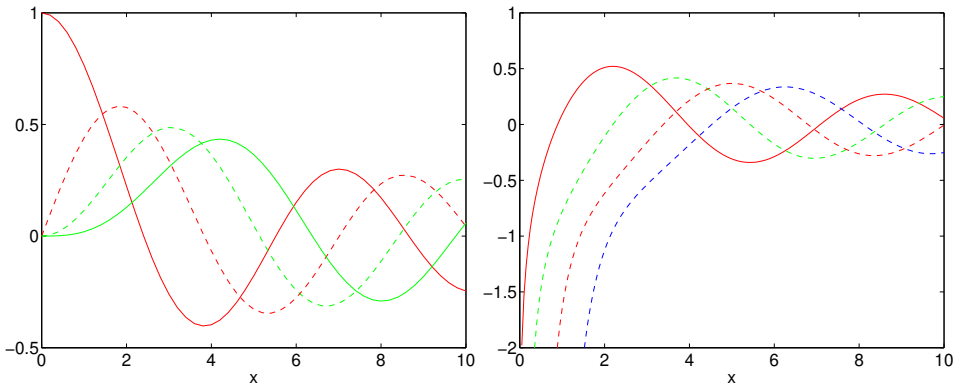

Figura III.1: Panello sinistro: le funzioni di Bessel $J_\nu(x)$, $\nu = 0, 1, 2, 3$. Panello destro: le funzioni di Neumann $Y_\nu(x)$, $\nu = 0, 1, 2, 3$.

Quest'espressione conduce alle rappresentazioni asintotiche per $x \to 0^+$

$$\boxed{Y_n(x) \sim \begin{cases} \dfrac{2}{\pi} \log \dfrac{x}{2}, & n = 0 \\ -\dfrac{(n-1)!}{\pi} \left(\dfrac{x}{2}\right)^{-n}, & n = 1, 2, \cdots, \end{cases}} \tag{III.42}$$

implicando che $|Y_n(x)| \to +\infty$ se $x \to 0$.

Per ragioni di linearità le funzioni di Bessel di seconda specie soddisfano alle stesse formule di ricorrenza di quelle di prima specie. In particolare

$$Y'_\nu(x) = Y_{\nu-1}(x) - \frac{\nu}{x} Y_\nu(x) = -Y_{\nu+1}(x) + \frac{\nu}{x} Y_\nu(x);$$

$$\frac{d}{dx}\left[x^\nu Y_\nu(x)\right] = x^\nu Y_{\nu-1}(x), \qquad \frac{d}{dx}\left[x^{-\nu} Y_\nu(x)\right] = -x^{-\nu} Y_{\nu+1}(x);$$

$$Y'_0(x) = -Y_1(x); \qquad Y_{\nu+1}(x) - \frac{2\nu}{x} Y_\nu(x) + Y_{\nu-1}(x) = 0.$$

4.3 Ortogonalità e zeri

La seguente proposizione ci importa nei casi $\alpha = 1$ e $\beta = 0$ (cercando gli zeri) e $\alpha = 0$ e $\beta = 1$ (cercando i valori estremi).

Proposizione III.4 *Per $\alpha, \beta \geq 0$ con $\alpha + \beta > 0$, siano μ_1 e μ_2 zeri reali dell'equazione*

$$\alpha J_\nu(\mu) + \beta \mu J'_\nu(\mu) = 0, \tag{III.43}$$

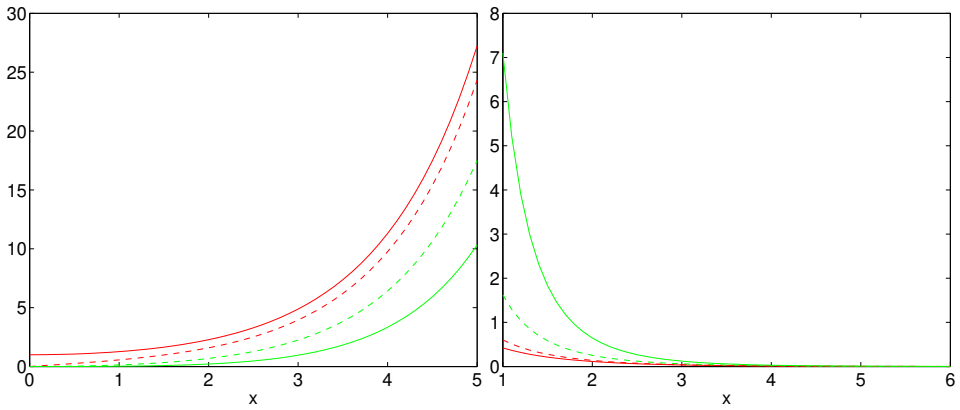

Figura III.2: Panello sinistro: le funzioni di Bessel immaginarie $I_\nu(x)$ per $\nu = 0, 1, 2, 3$. Panello destro: le funzioni di MacDonald $K_\nu(x)$ per $\nu = 0, 1, 2, 3$.

Le dimostrazioni delle formule asintotiche (III.52)-(III.56) si trovano nell'Appendice B. Analogamente, utilizzando la (III.39), si ottiene per $x \to 0^+$

$$\begin{cases} H_0^{(1)}(x) \approx -\dfrac{2i}{\pi} \ln \dfrac{1}{x}, \quad H_0^{(2)}(x) \approx \dfrac{2i}{\pi} \ln \dfrac{1}{x}, \\ \\ Y_0(x) \approx -\dfrac{2}{\pi} \ln \dfrac{1}{x}, \qquad K_0(x) \approx \ln \dfrac{1}{x}. \end{cases}$$

Calcoliamo ora

$$\begin{aligned} \frac{\pi}{2} \left(I_{-\nu}(z) - I_\nu(z) \right) &= \frac{\pi}{2} \left(e^{\nu\pi i/2} J_{-\nu}(iz) - e^{-\nu\pi i/2} J_\nu(iz) \right) \\ &= \frac{\pi}{2} e^{\nu\pi i/2} \left(J_{-\nu}(iz) - e^{-\nu\pi i} J_\nu(iz) \right) \\ &= \frac{\pi}{2} e^{\nu\pi i/2} \left(-[J_\nu(iz)\cos(\nu\pi) - J_{-\nu}(iz)] + i \sin(\nu\pi) J_\nu(iz) \right) \\ &= \frac{\pi}{2} e^{\nu\pi i/2} \sin(\nu\pi) \left(J_\nu(iz) + i Y_\nu(iz) \right) \\ &= \frac{\pi i}{2} e^{\nu\pi i/2} H_\nu^{(1)}(iz) \sin(\nu\pi) = K_\nu(z) \sin(\nu\pi), \end{aligned}$$

implicando che[5]

$$\boxed{K_\nu(z) = \frac{\pi}{2} \frac{I_{-\nu}(z) - I_\nu(z)}{\sin(\nu\pi)}.}$$

[5]In [21, Sec. 17.71] la funzione di MacDonald $K_\nu(z)$ viene definita in modo diverso: $K_\nu(z) = \frac{\pi}{2}(I_{-\nu}(z) - I_\nu(z)) \cot(\nu\pi)$.

Per $\nu = n \in \mathbb{Z}$ bisogna calcolare il limite se $\nu \to n$.

Troviamo ora le equazioni differenziali per le funzioni $I_\nu(x)$ e $K_\nu(x)$. Sostituendo $x \mapsto ix$ nella (III.34), otteniamo l'equazione differenziale

$$\boxed{x^2u'' + xu' - (x^2 + \nu^2)u = 0.} \tag{III.57}$$

Dal Teorema III.5 segue che per $\nu > -1$ le funzioni di Bessel immaginarie $I_\nu(x)$ e le loro derivate prime non hanno zeri reali (con l'eccezione di $x = 0$ se $\nu > 0$).

4.5 Funzioni sferiche di Bessel

Le funzioni di Bessel $J_{\pm(l+\frac{1}{2})}(x)$, dove $l = 0, 1, 2, \ldots$, appaiono nello studio dello scattering quantistico e dello scattering della luce. Per questo motivo vengono introdotte le seguenti funzioni:

$$j_l(z) = \sqrt{\frac{\pi}{2z}}\, J_{l+\frac{1}{2}}(z), \tag{III.58}$$

$$y_l(z) = (-1)^{l+1} n_l(z) = \sqrt{\frac{\pi}{2z}}\, Y_{l+\frac{1}{2}}(z), \tag{III.59}$$

$$h_l^{(1)}(z) = j_l(z) + iy_l(z) = \sqrt{\frac{\pi}{2z}}\, H^{(1)}_{l+\frac{1}{2}}(z), \tag{III.60}$$

$$h_l^{(2)}(z) = j_l(z) - iy_l(z) = \sqrt{\frac{\pi}{2z}}\, H^{(2)}_{l+\frac{1}{2}}(z). \tag{III.61}$$

Le funzioni $j_l(z)$, $y_l(z) = (-1)^{l+1} n_l(z)$ e $h_l^{(1,2)}(z)$ si dicono *funzioni sferiche di Bessel* di prima, seconda e terza specie. Quindi

$$\begin{aligned}
j_0(z) &= \frac{\sin(z)}{z}, \\
j_1(z) &= \frac{\sin(z)}{z^2} - \frac{\cos(z)}{z}, \\
j_2(z) &= \left(\frac{3}{z^3} - \frac{1}{z}\right)\sin(z) - \frac{3}{z^2}\cos(z), \\
y_0(z) &= -n_0(z) = -\frac{\cos(z)}{z}, \\
y_1(z) &= n_1(z) = -\frac{\cos(z)}{z^2} - \frac{\sin(z)}{z}, \\
y_2(z) &= -n_2(z) = \left(-\frac{3}{z^3} + \frac{1}{z}\right)\cos(z) - \frac{3}{z^2}\sin(z).
\end{aligned}$$

Consideriamo ora le funzioni sferiche sulla sfera S^2 ($n = 3$). In coordinate sferiche abbiamo per $y_l(x) = r^l Y_l(\theta, \varphi)$

$$\frac{1}{\operatorname{sen}\varphi}\frac{\partial}{\partial\varphi}\left(\frac{1}{\operatorname{sen}\varphi}\frac{\partial Y_l}{\partial\varphi}\right) + \frac{1}{\operatorname{sen}^2\varphi}\frac{\partial^2 Y_l}{\partial\theta^2} + l(l+1)Y_l(\theta,\varphi) = 0, \qquad \text{(III.71)}$$

dove $\theta \in [0, 2\pi]$, $\varphi \in [0, \pi]$ e $l = 0, 1, 2, \cdots$. Cerchiamo le soluzioni della (III.71) in $C^\infty(S^2)$. Introduciamo prima $\xi = \cos\varphi$ e scriviamo (III.71) nella forma

$$\frac{1}{1-\xi^2}\frac{\partial^2 Y_l}{\partial\theta^2} + \frac{\partial}{\partial\xi}\left((1-\xi^2)\frac{\partial Y_l}{\partial\xi}\right) + l(l+1)Y_l(\theta,\xi) = 0. \qquad \text{(III.72)}$$

Applicando la separazione delle variabili

$$Y_l(\theta,\varphi) = \mathcal{P}(\xi)\Theta(\theta),$$

otteniamo

$$\Theta(\theta) = \begin{cases} \text{costante}, & m = 0 \\ c_1\cos m\theta + c_2 \operatorname{sen} m\theta, & m = 1, 2, 3, \cdots, \end{cases}$$

dove abbiamo sfruttato la periodicità della $\Theta(\theta)$: $\Theta(\theta + 2\pi) \equiv \Theta(\theta)$. Dunque $\Theta''(\theta) = -m^2\Theta(\theta)$. Risulta l'equazione differenziale

$$\frac{d}{d\xi}\left((1-\xi^2)\frac{d\mathcal{P}}{d\xi}\right) + \left[l(l+1) - \frac{m^2}{1-\xi^2}\right]\mathcal{P}(\xi) = 0. \qquad \text{(III.73)}$$

Quest'equazione si può scrivere nella forma

$$-\left[(1-\xi^2)\mathcal{P}'\right]' + \frac{m^2}{1-\xi^2}\mathcal{P} = l(l+1)\mathcal{P}.$$

Le soluzioni di quest'equazione nei punti ± 1 debbono assumere valori finiti.

5.2 Polinomi di Legendre

I polinomi di Legendre $P_l(\xi)$ si possono definire nei seguenti modi:

1. tramite la formula generatrice

$$\frac{1}{\sqrt{1-2\xi h + h^2}} = \sum_{l=0}^{\infty} P_l(\xi)h^l, \qquad |h| < 1,$$

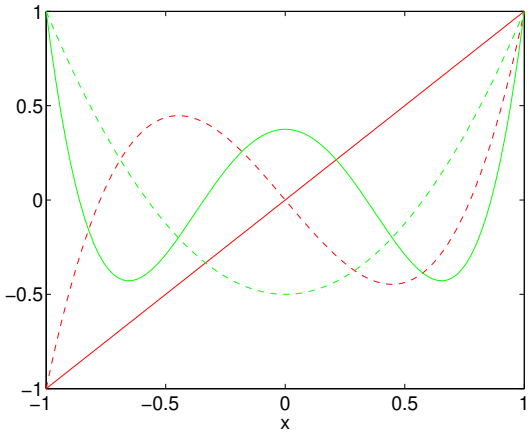

Figura III.3: I polinomi di Legendre di grado 1, 2, 3 e 4. Si osservi che il numero degli zeri è uguale al grado del polinomio.

2. tramite l'equazione differenziale,

$$\boxed{-[(1-x^2)P_l']'(x) = l(l+1)P_l(x),} \quad -1 < x < +1; \qquad \boxed{P_l(1) = 1,}$$

3. tramite l'ortogonalità: $P_l(\xi)$ sono i polinomi in ξ di grado l con coefficiente principale positivo tali che

$$\boxed{\int_{-1}^{1} P_l(\xi)P_{l'}(\xi)\,d\xi = \delta_{ll'}\frac{2}{2l+1},}$$

4. tramite la formula di Rodrigues

$$\boxed{P_l(\xi) = \frac{1}{2^l\,l!}\left(\frac{d}{d\xi}\right)^l(\xi^2-1)^l,}$$

5. tramite la formula di ricorrenza

$$\boxed{(2l+1)\xi P_l(\xi) = (l+1)P_{l+1}(\xi) + lP_{l-1}(\xi), \quad P_0(\xi) = 1, \quad P_1(\xi) = \xi.}$$

Noi dimostriamo l'equivalenza tra queste definizioni.

4 ⇒ 2. Consideriamo l'equazione differenziale

$$-[(1-x^2)u']'(x) = \lambda u(x), \qquad -1 < x < +1, \tag{III.74}$$

Confrontando i coefficienti di z^{n+1} nella (III.87) otteniamo $0 = 2c_n - c_{n+1}$, mentre $c_0 = 1$. Quindi $c_n = 2^n$. Infine si arriva alla seguente formula di ortogonalità:

$$\boxed{\int_{-\infty}^{\infty} H_n(z) H_m(z) e^{-z^2}\, dz = 2^n (n!) \sqrt{\pi}\, \delta_{n,m},} \tag{III.88}$$

dove $\delta_{n,m}$ è la delta di Kronecker.

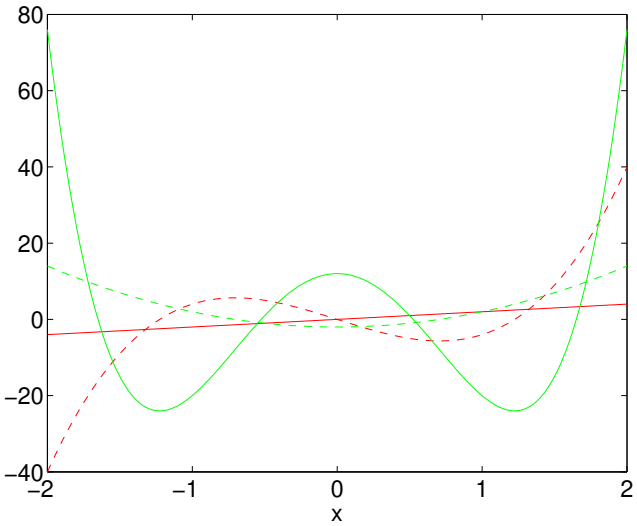

Figura III.4: I polinomi di Hermite di grado 1, 2, 3 e 4. Osserviamo che il numero degli zeri è uguale al grado del polinomio.

Derivando la (III.86) rispetto a z e scrivendo il risultato come un'equazione differenziale per v' si ottiene

$$(v')'' - 2z(v')' + 2(n-1)(v') = 0.$$

Dunque $H_n'(z)$ e $H_{n-1}(z)$ sono soluzioni della stessa equazione differenziale che ha soltanto una singola soluzione polinomiale linearmente indipendente. Di conseguenza, $H_n'(z) = \text{cost.} H_{n-1}(z)$. Siccome $H_n(z) = 2^n\, z^n + \ldots$ e $H_{n-1}(z) = 2^{n-1}\, z^{n-1} + \ldots$, risulta $n\, 2^n = \text{cost.} 2^{n-1}$ e quindi cost. $= 2n$. In altre parole,

$$\boxed{H_n'(z) = 2n\, H_{n-1}(z).} \tag{III.89}$$

Dalle equazioni (III.87) e (III.89) arriviamo alla formula di ricorrenza

$$\boxed{2zH_n(z) = H_{n+1}(z) + 2nH_{n-1}(z),} \tag{III.90}$$

dove $H_0(z) = 1$ e $H_1(z) = 2z$.

Dimostriamo ora la formula generatrice

$$e^{2zt-t^2} = \sum_{n=0}^{\infty} \frac{H_n(z)}{n!}\, t^n, \qquad t \in \mathbb{C}. \tag{III.91}$$

Infatti, ponendo $F(z,t) = e^{2zt-t^2}$ e scrivendo

$$F(z,t) = \sum_{n=0}^{\infty} \frac{h_n(z)}{n!}\, t^n \tag{III.92}$$

per opportuni coeffienti $h_n(z)$, risultano

$$\frac{\partial F}{\partial z} = 2tF(z,t),$$
$$\sum_{n=0}^{\infty} \frac{h_n'(z)}{n!} t^n = \sum_{n=1}^{\infty} \frac{2h_{n-1}(z)}{(n-1)!}\, t^n.$$

Quindi $h_n(z)$ è un polinomio in z di grado n e

$$h_n'(z) = 2nh_{n-1}(z). \tag{III.93}$$

Dalla (III.92) risulta che $h_n(0)$ coincide con la derivata n-esima di e^{-t^2} per $t = 0$, cioè con 0 se n è dispari, e con $(-1)^{n/2}(n!)/(n/2)!$ se n è pari. Dalla formula di Rodriguez (III.85) si vede facilmente che $H_n(0) = h_n(0)$ per $n = 0, 1, 2, \ldots$. Utilizzando le espressioni (III.89) e (III.93) arriviamo alla identità $H_n(z) = h_n(z)$ e quindi alla formula generatrice (III.91).

7 Polinomi di Laguerre

I *polinomi di Laguerre* si definiscono tramite la seguente formula di Rodriguez:

$$\boxed{L_n^{(\alpha)}(x) = \frac{x^{-\alpha}e^x}{n!}\left(\frac{d}{dx}\right)^n \{x^{n+\alpha}e^{-x}\}.} \tag{III.94}$$

Si dimostra facilmente che la (III.94) rappresenta un polinomio di grado n per ogni $\alpha \in \mathbb{R}$. La regola di Leibnitz ci dà subito la rappresentazione $L_n^{(\alpha)}(x) = (-1)^n(x^n/n!) + \ldots$. Ci limitiamo al caso $\alpha > -1$.

La funzione $w(x) = x^{n+\alpha}e^{-x}$ soddisfa l'equazione differenziale

$$xw' + (x - n - \alpha)w = 0. \tag{III.95}$$

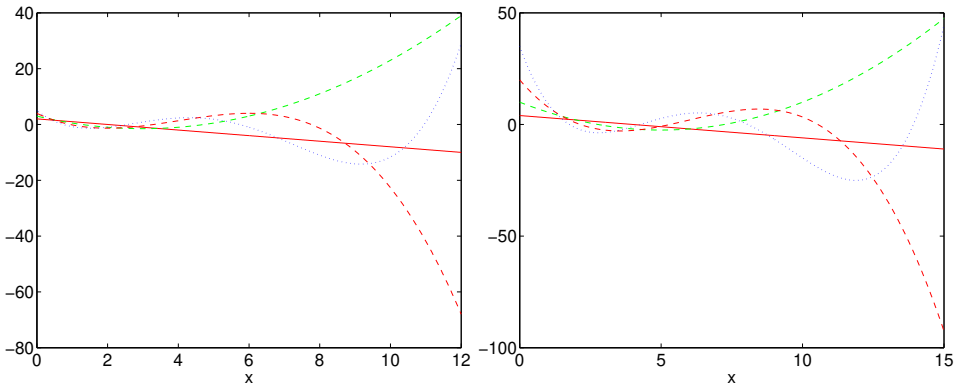

Figura III.5: I polinomi di Laguerre di grado 1, 2, 3 e 4 per $\alpha = 1$ (panello sinistro) e $\alpha = 3$ (panello destro). Osserviamo che il numero degli zeri è uguale al grado del polinomio.

dove $n = 1, 2, 3, \ldots$ e A_n, B_n e C_n sono opportune costanti da determinare. Calcoliamo ora il seguente integrale:

$$
\begin{aligned}
C_n^{(\alpha)} &= \int_0^\infty x L_n^{(\alpha)}(x) L_{n+1}^{(\alpha)}(x)\, x^\alpha e^{-x}\, dx \\
&= \frac{1}{(n+1)!} \int_0^\infty x L_n^{(\alpha)}(x) \left(\frac{d}{dx}\right)^{n+1} \{x^{n+1+\alpha} e^{-x}\}\, dx \\
&= \left[\frac{1}{(n+1)!} \sum_{j=1}^{n+1} (-1)^{j-1} (x L_n^{(\alpha)})^{(j-1)}(x) \left(\frac{d}{dx}\right)^{n+1-j} \{x^{n+1+\alpha} e^{-x}\}\right]_{x=0}^{\infty} \\
&+ \frac{(-1)^{n+1}}{(n+1)!} \int_0^\infty \left(\left(\frac{d}{dx}\right)^{n+1} \{x L_n^{(\alpha)}(x)\}\right) x^{n+1+\alpha} e^{-x}\, dx \\
&= \left[\frac{(-1)^n}{(n+1)!} \sum_{j=1}^{n+1} (x L_n^{(\alpha)})^{(j-1)}(x)(n+1-j)! x^{\alpha+j} e^{-x} L_{n+1-j}^{(\alpha+j)}(x)\right]_{x=0}^{\infty} \\
&+ \frac{(-1)^{n+1}}{(n+1)!} \left(\left(\frac{d}{dx}\right)^{n+1} \{x L_n^{(\alpha)}(x)\}\right) \int_0^\infty x^{n+1+\alpha} e^{-x}\, dx \\
&= -\frac{\Gamma(n+\alpha+2)}{n!},
\end{aligned}
$$

dove abbiamo utilizzato $x L_n^{(\alpha)}(x) = (-1)^n (x^{n+1}/n!) + \ldots$. Poi calcoliamo l'integrale:

$$
D_n^{(\alpha)} = \int_0^\infty x L_n^{(\alpha)}(x)^2\, x^\alpha e^{-x}\, dx
$$

$$
\begin{aligned}
&= \frac{1}{n!}\int_0^\infty x L_n^{(\alpha)}(x)\left(\frac{d}{dx}\right)^n \{x^{n+\alpha}e^{-x}\}\,dx \\
&= \left[\frac{1}{n!}\sum_{j=1}^{n}(-1)^{j-1}(xL_n^{(\alpha)})^{(j-1)}(x)\left(\frac{d}{dx}\right)^{n-j}\{x^{n+\alpha}e^{-x}\}\right]_{x=0}^{\infty} \\
&+ \frac{(-1)^n}{n!}\int_0^\infty \left(\left(\frac{d}{dx}\right)^n \{xL_n^{(\alpha)}(x)\}\right) x^{n+\alpha}e^{-x}\,dx \\
&= \left[\frac{1}{n!}\sum_{j=1}^{n}(-1)^{j-1}(xL_n^{(\alpha)})^{(j-1)}(x)(-1)^{n-j}(n-j)!x^{\alpha+j}e^{-x}L_{n-j}^{(\alpha+j)}(x)\right]_{x=0}^{\infty} \\
&+ \frac{(-1)^n}{n!}\int_0^\infty \left(\left(\frac{d}{dx}\right)^n \{xL_n^{(\alpha)}(x)\}\right) x^{n+\alpha}e^{-x}\,dx \\
&= \frac{(-1)^n}{n!}\int_0^\infty \left((n+1)!\,x - n(n+\alpha)n!\right)x^{n+\alpha}e^{-x}\,dx \\
&= \frac{(n+1)\Gamma(n+\alpha+2) - n(n+\alpha)\Gamma(n+\alpha+1)}{n!} \\
&= \frac{(2n+1+\alpha)\Gamma(n+\alpha+1)}{n!},
\end{aligned}
$$

dove abbiamo utilizzato $xL_n^{(\alpha)}(x) = (-1)^n((x^{n+1} - n(n+\alpha)x^n)/n!) + \ldots$. Dalla (III.102) e le espressioni per $C_n^{(\alpha)}$ e $D_n^{(\alpha)}$ seguono $A_n^{(\alpha)} = -(n+1)$, $B_n^{(\alpha)} = 2n+1+\alpha$ e $C_n^{(\alpha)} = -(n+\alpha)$. Dunque risulta la formula di ricorrenza

$$
\boxed{(2n+1+\alpha-x)L_n^{(\alpha)}(x) = (n+1)L_{n+1}^{(\alpha)}(x) + (n+\alpha)L_{n-1}^{(\alpha)}(x),} \qquad \text{(III.103)}
$$

dove $L_0^{(\alpha)}(x) = 1$ e $L_1^{(\alpha)}(x) = 1+\alpha-x$.

Per dimostrare la validità della formula generatrice

$$
(1-t)^{-(1+\alpha)}\exp\left(-\frac{xt}{1-t}\right) = \sum_{n=0}^{\infty} L_n^{(\alpha)}(x)t^n, \qquad |t|<1, \qquad \text{(III.104)}
$$

partiamo dalla serie di funzioni

$$
F(x,t) = (1-t)^{-(1+\alpha)}\exp\left(-\frac{xt}{1-t}\right) = \sum_{n=0}^{\infty} c_n(x)t^n, \qquad |t|<1, \quad \text{(III.105)}
$$

dove $c_n(x)\,n!$ è la derivata parziale n-esima di $F(x,t)$ rispetto a t per $t=0$. Sostituendo la serie (III.105) nella equazione

$$
(1-t)^2\frac{\partial F}{\partial t} + [x-(1+\alpha)(1-t)]\,F = 0,
$$

otteniamo le seguenti espressioni per i coefficienti t^n $(n = 1, 2, 3, \ldots)$ e per il coefficiente di t^0:

$$\begin{cases} (n+1)c_{n+1}(x) + (x - 2n - \alpha - 1)c_n(x) + (n+\alpha)c_{n-1}(x), \\ c_1(x) + (x - \alpha - 1)c_0(x) = 0, \end{cases}$$

dove $c_0(x) = 1$. Quindi $c_n(x) = L_n^{(\alpha)}(x)$ per $n = 0, 1, 2, \cdots$ (vedi la (III.103)).

Infine, per esprimere i polinomi di Hermite in quelli di Laguerre riscriviamo i prodotti scalari tra quest'ultimi utilizzando la trasformazione $x = t^2$:

$$\int_0^\infty L_n^{(\alpha)}(x) L_m^{(\alpha)}(x) x^\alpha e^{-x}\, dx = \int_{-\infty}^\infty L_n^{(\alpha)}(t^2) L_m^{(\alpha)}(t^2) |t|^{2\alpha+1} e^{-t^2}\, dt, \qquad \text{(III.106)}$$

$$\int_0^\infty L_n^{(\alpha)}(x) L_m^{(\alpha)}(x) x^\alpha e^{-x}\, dx = \int_{-\infty}^\infty t L_n^{(\alpha)}(t^2) t L_m^{(\alpha)}(t^2) |t|^{2\alpha-1} e^{-t^2}\, dt. \qquad \text{(III.107)}$$

Per fare scomparire i fattori $|t|^{2\alpha\pm1}$ in (III.106) e (III.107) scegliamo $\alpha = -\frac{1}{2}$ in (III.106) e $\alpha = \frac{1}{2}$ in (III.107). Quindi $H_{2n}(t)$ è proporzionale a $L_n^{(-\frac{1}{2})}(t^2)$ e $H_{2n+1}(t)$ è proporzionale a $tL_n^{(\frac{1}{2})}(t^2)$. Confrontando i coefficienti principali otteniamo

$$H_{2n}(t) = 2^{2n}\, n!(-1)^n L_n^{(-\frac{1}{2})}(t^2), \qquad \text{(III.108)}$$

$$H_{2n+1}(t) = 2^{2n+1}\, n!(-1)^n\, t L_n^{(\frac{1}{2})}(t^2). \qquad \text{(III.109)}$$

8 Polinomi di Chebyshev

I polinomi di Chebyshev di prima specie $T_n(x)$ e di seconda specie $U_n(x)$ si definiscono nel seguente modo:[8]

$$\boxed{T_n(x) = \cos(nt),} \qquad \boxed{U_n(x) = \frac{\sin((n+1)t)}{\sin t},} \qquad \text{(III.110)}$$

where $x = \cos(t)$. In tal caso $T_n(x)$ e $U_n(x)$ sono polinomi di x di grado n che hanno le seguenti proprietà:

$$\begin{aligned} &T_0(x) = 1, \quad T_1(x) = x, \quad T_{n+1}(x) + T_{n-1}(x) = 2xT_n(x), \\ &U_0(x) = 1, \quad U_1(x) = 2x, \quad U_{n+1}(x) + U_{n-1}(x) = 2xU_n(x). \end{aligned}$$

[8]Per $x \in \mathbb{R} \setminus [-1, 1]$ si hanno le definizioni alternative $T_n(x) = \cosh(nt)$ e $U_n(x) = \sinh((n+1)t)/\sinh t$ per $x = \cosh t$.

La formula di ricorrenza è facile da verificare:

$$\begin{aligned} T_{n+1}(x) + T_{n-1}(x) &= \cos((n+1)t) + \cos((n-1)t) \\ &= 2\cos(t)\cos(nt) = 2xT_n(x), \\ U_{n+1}(x) + U_{n-1}(x) &= \frac{\sin((n+2)t)}{\sin(t)} + \frac{\sin(nt)}{\sin(t)} \\ &= \frac{2\cos(t)\sin((n+1)t)}{\sin(t)} = 2xU_n(x). \end{aligned}$$

Si vede subito che $-1 \leq T_n(x) \leq +1$ per $x \in [-1, 1]$, mentre $T_n(x) = 2^{n-1}x^n + \ldots$ e $U_n(x) = 2^n x^n + \ldots$ per $n \in \mathbb{N}$.

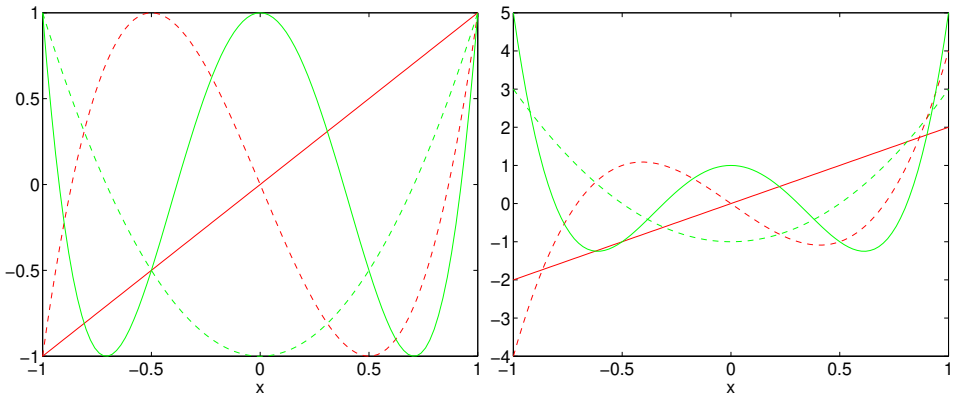

Figura III.6: I polinomi di Chebyshev di prima e seconda specia di grado 1, 2, 3 e 4. Nel panello sinistro si trovano i grafici dei polinomi di Chebyshev di prima specie e nel panello destro quelli di seconda specie. Osserviamo che il numero degli zeri è uguale al grado del polinomio. Inoltre, i polinomi di Chebyshev di prima specie hanno ± 1 come i loro valori estremi.

Sono verificate le relazioni di ortogonalità

$$\int_0^\pi \cos(nt)\cos(mt)\,dt = \frac{\pi}{2}(1+\delta_{n,0})\delta_{n,m},$$
$$\int_0^\pi \sin((n+1)t)\sin(m+1)t)\,dt = \frac{\pi}{2}\delta_{n,m}.$$

Sostituendo $x = \cos(t)$ otteniamo

$$\boxed{\int_{-1}^{1} T_n(x)T_m(x)\,\frac{dx}{\sqrt{1-x^2}} = \frac{\pi}{2}(1+\delta_{n,0})\delta_{n,m},} \qquad \text{(III.111)}$$

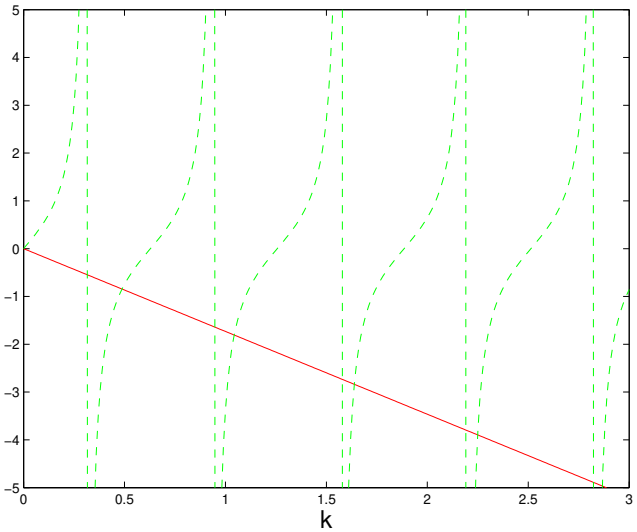

Figura V.1: Il plot contiene i grafici delle funzioni $y = \tan(xL)$ e $y = -k\tan\alpha$ per $L = 5$ e $\alpha = \frac{\pi}{3}$. Gli autovalori sono i valori di $k > 0$ corrispondenti ai loro punti di intersezione.

con la condizione che $\lambda = 0$ non sia un autovalore dell'operatore L è equivalente all'equazione integrale

$$u(x) = \lambda \int_0^\ell \mathcal{G}(x,y)u(y)\,dy + \int_0^\ell \mathcal{G}(x,y)f(y)\,dy, \qquad u \in L^2(0,\ell), \quad \text{(V.18)}$$

dove $\mathcal{G}(x,y)$ è la funzione di Green dell'operatore L. Inoltre, le soluzioni u dei problemi equivalenti (V.17) *e* (V.18) *appartengono ad $\mathcal{M}_L$.*

Dimostrazione. Se $u(x)$ è una soluzione del problema al contorno (V.17), allora

$$u(x) = (G[\lambda u + f])(x) = \int_0^\ell \mathcal{G}(x,y)[\lambda u(y) + f(y)]\,dy, \qquad 0 \le x \le \ell,$$

cioè $u(x)$ soddisfa l'equazione integrale (V.18).

Inversamente, supponiamo che la funzione $u_0 \in L^2(0,\ell)$ soddisfi l'equazione integrale (V.18). Se G denota l'operatore integrale con nucleo $\mathcal{G}(x,y)$, allora $u_0 = G(\lambda u_0 + f) \in D(\overline{L})$ e $\overline{L}u_0 = \lambda u_0 + f$. Dall'uguaglianza

$$u_0(x) = -\frac{v_1(x)\displaystyle\int_x^\ell v_2(y)[\lambda u_0(y) + f(y)]\,dy + v_2(x)\int_0^x v_1(y)[\lambda u_0(y) + f(y)]\,dy}{p(0)w(0)}$$

segue che $u_0 \in C[0,\ell]$, poichè le funzioni sotto il segno degli integrali appartengono ad $L^1(0,\ell)$. In tal caso segue dall'equazione precedente che $u_0 \in C^1[0,\ell]$ con derivata

$$u_0'(x) = -\frac{v_1'(x)\displaystyle\int_x^\ell v_2(y)[\lambda u_0(y)+f(y)]\,dy + v_2'(x)\int_0^x v_1(y)[\lambda u_0(y)+f(y)]\,dy}{p(0)w(0)}.$$

Da quell'ultima equazione segue che $u_0 \in C^2[0,\ell]$. Inoltre, dalla (V.6) segue che $u_0(x)$ soddisfa le condizioni al contorno (V.2). Dunque $u_0 \in \mathcal{M}_L$. Di conseguenza, $Lu_0 = \overline{L}u_0 = \lambda u_0 + f$. □

Applicando il teorema precedente al caso $f = 0$, concludiamo che ogni autofunzione dell'operatore L (in principio appartenente a $D(\overline{L})$) appartiene ad $\mathcal{M}_L$. Inoltre, tutte le autofunzioni appartengono a $C[0,\ell]$. Quindi il problema al contorno per $f = 0$ (cioè, il problema agli autovalori) è equivalente a quello agli autovalori dell'equazione integrale omogenea

$$u(x) = \lambda \int_0^\ell \mathcal{G}(x,y)u(y)\,dy \tag{V.19}$$

in $C[0,\ell]$ oppure in $L^2(0,\ell)$, a condizione che $\lambda = 0$ non sia autovalore dell'operatore L.

Eliminiamo ora l'ipotesi che $\lambda = 0$ non sia un autovalore dell'operatore L. Per farlo, sia $\mu_0 \in \mathbb{R}$ un numero che non è un autovalore. Allora $\mu = 0$ non è un autovalore del problema di Sturm-Liouville

$$L_1 u \equiv -(pu')' + (q-\mu_0)u = \mu u, \tag{V.20}$$

$$h_1 u(0) - h_2 u'(0) = 0, \qquad H_1 u(\ell) + H_2 u'(\ell) = 0. \tag{V.21}$$

Ma $\mathcal{M}_L = \mathcal{M}_{L_1}$ e $D(\overline{L}) = D(\overline{L_1})$. Quindi il problema di Sturm-Liouville (V.1)-(V.2) è equivalente all'equazione integrale

$$u(x) = (\lambda - \mu_0)\int_0^\ell \mathcal{G}_1(x,y)u(y)\,dy, \tag{V.22}$$

dove $\mathcal{G}_1(x,y)$ è la funzione di Green dell'operatore L_1.

1.3 Proprietà degli autovalori e delle autofunzioni

Abbiamo dunque stabilito l'equivalenza tra il problema di Sturm-Liouvville omogeneo ed il problema agli autovalori per l'equazione integrale omogenea (V.22) con nucleo integrale $\mathcal{G}_1(x,y)$ reale, simmetrico e continuo. Gli autovalori

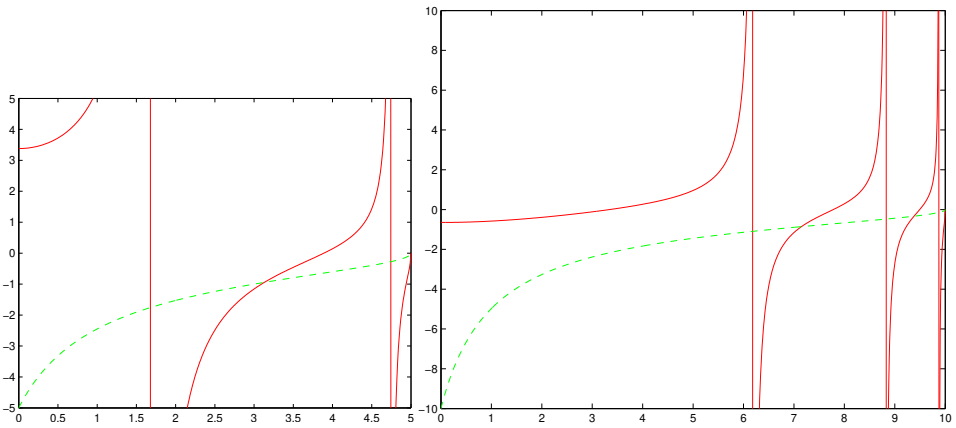

Figura C.1: Per $l = 0$ e per $r_0\sqrt{V_0} = 5$ (pannello sinistro) o 10 (pannello destro) vengono calcolati graficamente i valori di $z = \kappa r_0$ per cui l'equazione di Schrödinger per la buca sferica ha stato limite.

e quindi $(S'/S)(r_0) = (1/r_0) > 0$. Di conseguenza, siamo costretti a limitarci al caso $0 < \kappa < \sqrt{V_0}$. In tal caso la condizione $S(0) = 0$ conduce a $S(r) \sim \sin(r\sqrt{V_0 - \kappa^2})$ per $0 < r < r_0$. Dalla condizione di derivabilità continua in $r = r_0$ si trova

$$\sqrt{V_0 - \kappa^2}\frac{\cos(r_0\sqrt{V_0 - \kappa^2})}{\sin(r_0\sqrt{V_0 - \kappa^2})} = -\kappa.$$

Per studiare quest'ultima equazione, poniamo $\xi = r_0\sqrt{V_0 - \kappa^2}$ (che appartiene all'intervallo $(0, r_0\sqrt{V_0})$ e scriviamo l'equazione nella forma

$$\frac{\xi}{\tan(\xi)} = -\sqrt{V_0 r_0^2 - \xi^2}, \qquad 0 < \xi < r_0\sqrt{V_0},$$

oppure

$$\tan(\xi) = -\frac{\xi}{\sqrt{V_0 r_0^2 - \xi^2}}, \qquad 0 < \xi < r_0\sqrt{V_0}.$$

Per $n = 1, 2, 3, \ldots$ e $(n - \frac{1}{2})\pi < r_0\sqrt{V_0} \leq (n + \frac{1}{2})\pi$ ci sono n soluzioni ξ di quest'equazione e quindi n stati limite.

2 Oscillatore armonico

a. Utilizzando le coordinate sferiche. In tal caso

$$V(r) = \frac{1}{2}\gamma r^2, \tag{C.20}$$

dove $\gamma > 0$ è una costante. Ponendo $c = \sqrt{\gamma/8}$ e $R(r) = e^{-cr^2}\phi(r)$, la (C.11) si riduce all'equazione differenziale

$$\phi''(r) + \left(\frac{2}{r} - 4cr\right)\phi'(r) + \left(k^2 - 6c - \frac{l(l+1)}{r^2}\right)\phi(r) = 0. \tag{C.21}$$

Sostituendo la serie di potenze

$$\phi(r) = r^\alpha \sum_{s=0}^{\infty} c_s r^s, \tag{C.22}$$

dove α è un parametro da stabilire, troviamo

$$\sum_{s=0}^{\infty} [\{(\alpha+s)(\alpha+s-1) + 2(\alpha+s) - l(l+1)\}c_s + \{(k^2-6c) - 4c(\alpha+s-2)\}c_{s-2}\big]\, r^{\alpha+s-2} = 0,$$

dove $c_{-1} = c_{-2} = 0$. Supponendo che il coefficiente di $r^{\alpha-2}$ sia diverso da zero, si trova

$$\alpha(\alpha-1) + 2\alpha - l(l+1) = 0,$$

e quindi $\alpha = l$ oppure $\alpha = -(l+1)$. La condizione al contorno (C.12) se $r \to 0^+$ implica che $\alpha = l$. In tal caso $c_1 = 0$ e

$$s(s+2l+1)c_s + \{(k^2-6c) - 4c(s+l-2)\}c_{s-2} = 0. \tag{C.23}$$

Dunque $c_1 = c_3 = c_5 = \cdots = 0$ e

$$c_s = \frac{4c(s+l-2) - (k^2-6c)}{s(s+2l+1)} c_{s-2},$$

dove $s = 2, 4, 6, \cdots$. Il rapporto $c_s r^2/c_{s-2} \sim (4cr^2/s)$ se $s \to +\infty$. Quindi scegliamo k^2 tale che $c_s = 0$ per qualche $s = 2, 4, 6, \cdots$, cioè

$$k^2 = 4c(s+l-2) + 6c, \qquad s = 2, 4, 6, \cdots.$$

Quindi abbiamo trovato gli autovalori e le autofunzioni

$$\begin{cases} k^2_{l,n} = 2c(2n+3), & l = n, n-2, n-4, \ldots,\ l = 0, 1, 2, \cdots, \\ \psi_{l,n}(r,\theta,\varphi) = e^{-cr^2}\phi_{l,n}(r) Y^m_l(\theta,\varphi), & m = -l, -l+1, \cdots, l, \end{cases} \tag{C.24}$$

dove $\phi_{l,n}(r) = r^l v_{l,n}(r)$ e $v_{l,n}(r)$ è un polinomio in r^2 di grado $n-l$. Quel polinomio soddisfa l'equazione

$$r^2 v''(r) + 2r(l+1-2cr^2)v'(r) + 4c(n-l)r^2 v(r) = 0.$$